

宮崎大学工学部 正員 ○渡辺 義公
モンクトン工科大学(タイ) C. Thanantases

1. はじめに 筆者ら(1)は单基質の生物膜内での拡散と反応につきの理論を提示しその回転円板法による硝化過程への適用につき報告した。しかし、実処理では硝化のみが生ずるケースは稀であり硝化と有機物酸化が同一の生物膜内で進行する。周知の如く有機物酸化と硝化は栄養源とエネルギー源を異にする他栄養性細菌と自栄養細菌によつて行われる。既往の研究には処理水中の残存BODと硝化率の間に強い相関がある事を示したもののがあるが、生物膜内をクロス解析した有機物酸化-硝化過程の理論的検討は筆者らの知る範囲ではほとんど無い。本文では好気性生物膜内では他栄養細菌と自栄養細菌(硝化菌)の酸素取扱速度の和が一定に保たれるとの仮定に立つて、有機物酸化-硝化過程の理論展開と実験による理論の検証を行う。

2. 理論的考察 理論の展開にあたり図-1のようない回転円板法のモデル化

を行つ。他栄養細菌層が存在しない硝化菌生物膜で反応が酸素律速の場合、

生物膜への $\text{NH}_4^+ - \text{N}$ Flux ($F_{\text{N}, \text{max}}$ と記す) は式-1で与えられる。

$$F_{\text{N}, \text{max}} = F_0 / A_n \quad \dots \dots \dots (1)$$

ここで、 F_0 は付着生物膜を通過して生物膜へ拡散する酸素 Flux (式-2)、 A_n は硝化反応における酸素消費量で前記が硝酸型の場合 K は $4.33 \text{ g O}_2 / \text{g NH}_4^+ - \text{N}$ である。

$$F_0 = D_o (C_o^* - C_{\text{so}}) / L_w \quad \dots \dots \dots (2)$$

ここで、 D_o は酸素分子×水中での分子拡散係数、 C_o^* は饱和溶解酸素濃度である。 C_{so} と L_w は実測がむずかしいのでシミュレーションにより水温 23°C 、円板周速度 $7\text{m}/\text{分}$ におけるそれを 2.5 mg/l 、 $50\text{ }\mu\text{m}$ と指定した。この場合 F_0 は $1.06 \text{ g O}_2/\text{m}^2\text{h}$

$F_{\text{N}, \text{max}}$ は $0.244 \text{ g NH}_4^+ - \text{N}/\text{m}^2\text{h}$ となる。実測した $F_{\text{N}, \text{max}}$ は約 $0.26 \text{ g NH}_4^+ - \text{N}/\text{m}^2\text{h}$ である。生物膜への酸素供給速度は生物膜を構成する細菌の種類に独立に付着水膜内の酸素分子の拡散速度により決まるとする定義すると式-1は式-2のように有機物酸化-硝化過程に適用される。

$$F_0 = A_n F_{\text{N}, \text{max}} = A_n F_{\text{N}} + A_c F_{\text{c}} = A_c F_{\text{c}, \text{max}} \quad \dots \dots \dots (3)$$

ここで、 A_c は有機物酸化反応における酸素消費量、 F_{c} は有機物 Flux である。式-3を無次元化すると式-4となる。

$$F_{\text{N}} / F_{\text{N}, \text{max}} = 1 - (A_c / A_n) (F_{\text{c}} / F_{\text{N}, \text{max}}) \quad \dots \dots \dots (4)$$

$$= 1 - 0.23 (A_c F_{\text{c}} / F_{\text{N}, \text{max}}) \quad \dots \dots \dots (4)$$

他栄養細菌の細胞合成に利用される $\text{NH}_4^+ - \text{N}$ と硝化によって減少する $\text{NH}_4^+ - \text{N}$ を分離すると(2)式-5へようべく図-3。

$$F_{\text{A}} = F_{\text{N}} + 0.11 A_c F_{\text{c}} \quad \dots \dots \dots (5)$$

ここで、 F_{A} は有機物酸化-硝化過程における生物膜への $\text{NH}_4^+ - \text{N}$ Flux である。式-4, 5より式-6のような無次元式を得る。

$$F_{\text{A}} / F_{\text{N}, \text{max}} = 1 - (1/A_n - 0.11) (A_c F_{\text{c}} / F_{\text{N}, \text{max}}) \quad \dots \dots \dots (6)$$

$$= 1 - 0.12 (A_c F_{\text{c}} / F_{\text{N}, \text{max}}) \quad \dots \dots \dots (6)$$

3. 実験による理論の検証 式-4, 6を証明するためには有機物(グ

ルコースとスターチ)と $\text{NH}_4^+ - \text{N}$ を含む人工下水を用いて完全混合

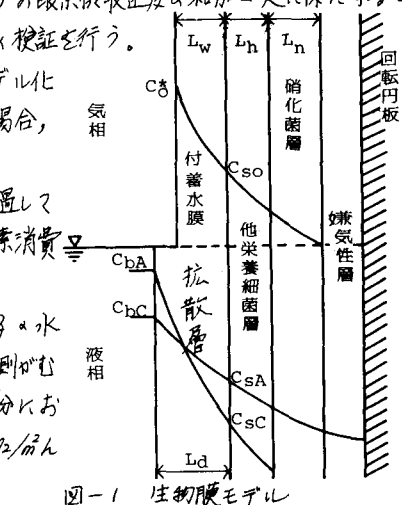


図-1 生物膜モデル

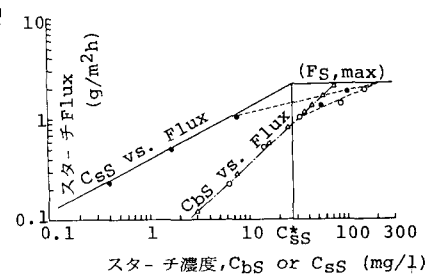


図-2 スターチ濃度とスターチFlux

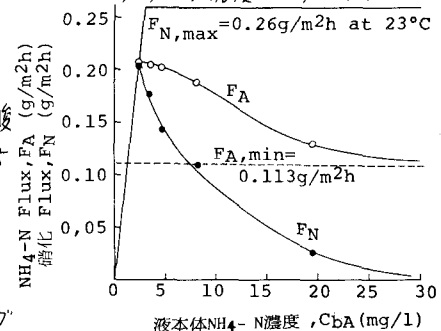


図-3 NH4+-N濃度とNH4+-N Flux

型回転円板装置による処理実験を行った。Run 1(27°C), 2(25°C), 3(25°C)ではグルコースを有機源として原水のBOD/NH₄-Nをそれぞれ0.6, 1.2, 2.8とし、水量負荷を4~21 l/m²hの範囲で実験を行った。Run 4(25°C)ではスター^チを有機源として水量負荷を3~15 l/m²hの範囲で変化させた。Run 5(23°C)ではスター^チを有機源として水量負荷を5 l/m²hを固定し、BOD/NH₄-Nを0.7~5.8とした。Run 5における平衡スター^チ濃度(C_{ss})とスター^チFlux(F_s)の関係を図-2に、平衡NH₄-N濃度(C_{nh})とNH₄-N Flux(F_N)および硝化 Flux(F_N)の関係を図-3に示す。硝化が生じない場合は図-2の実線によりC_{ss}とF_sの関係が与えられるが、実測データはC_{ss}が高くなるにつれて理論値よりも小さくなつた。これは生物膜内硝化菌により溶解酸素の一部が採取された事によ來る。Run 5ではC_{ss}がC_{nh}と共に増加したため有機物酸化に利用された酸素量がC_{nh}へ増加に伴い多くなり図-3のような結果が得られた。グルコースとスター^チのAc値はそれぞれ0.71 gO₂/gグルコース、0.55 gO₂/gスター^チと判定され、これらの値を用いて式-4, 6から実験データをプロットすると図-4, 5を得る。図-5は地下水中の三次処理データもプロットしてある。Run 5以外はデータに糸状菌の影響により理論値よりも大き目はあるが、図-4と5より式-4と6が証明されたと考えて良いであろう。図-6はEPAのデータと式-6を完全混合4段階列槽に適用した計算値とを比較したものである。処理水BODが20 mg/l以下で良く一致している。これよりBODが低くなるほどBODと硝化率の間に一義的関係が成立する度合が強くなる事によると。詳細については参考文献(2)を参照のこと。

4. 有機物酸化-硝化生物膜モデル 図-1のような単純化したモデルでは筆者らの生物膜理論によりF_Nは式-7となる。

$$F_N = \frac{1}{2} \alpha_n R_n D_o \left(C_{ss} - \frac{\alpha_c D_o C_{ss}}{D_o} \right) \quad \text{---(7)}$$

ここで、R_nは生物膜内の硝化速度、D_oは膜内での有機物の分子拡散係数、C_{ss}は生物膜表面の有機物濃度である。式-7にRun 5における諸定数を代入してF_Nを計算し実測値と比較すると図-7のようである。モデルによる計算値の方がC_{ss}が低い所で硝化が停止するが、この点については図-8の生物膜モデルにより解決できる。図-8は生物膜の任意断面における有機物濃度と硝化菌による酸素採取速度の和が一定に保たれることでモデル化したものである。詳細については講演時に述べる。

参考文献 (1)渡辺他：回転円板法の淨化機構に関する研究(I, II)下水協誌, No. 172(1978), No. 195(1980), (2)渡辺他：回転円板法の淨化機構に関する研究(IV), 下水協誌, 投稿中

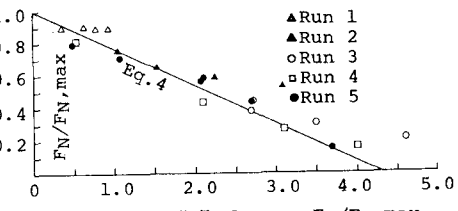


図-4 硝化 Flux と酸素 Flux の関係

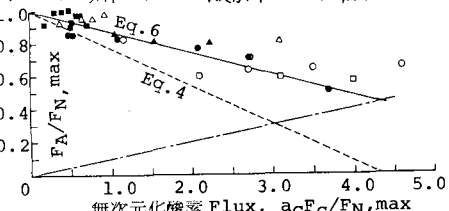


図-5 NH₄-N Flux と酸素 Flux の関係

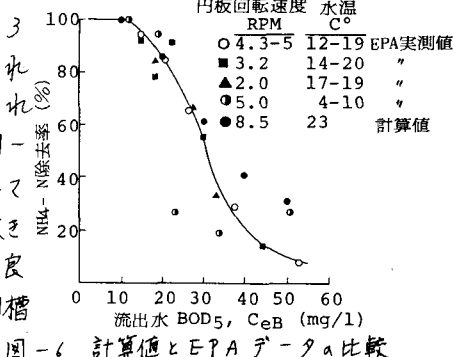


図-6 計算値とEPAデータの比較

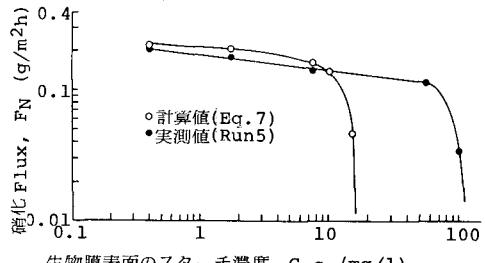


図-7 硝化 Flux の計算値と実測値の比較

右下の曲線は他の養殖細胞による酸素採取速度を示す。

修正モデル 近似モデル

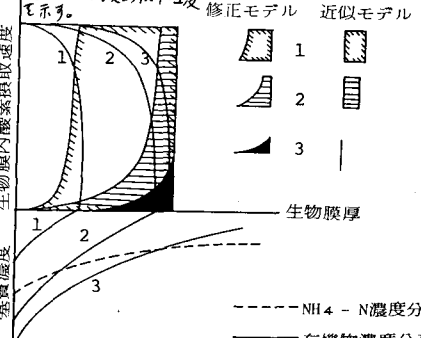


図-8 修正生物膜モデル